

УДК 539.214; 539.374

© 1996 г. А. А. МАРКИН, С. С. ЯКОВЛЕВ

## ВЛИЯНИЕ ВРАЩЕНИЯ ГЛАВНЫХ ОСЕЙ ОРТОТРОПИИ НА ПРОЦЕССЫ ДЕФОРМИРОВАНИЯ АНИЗОТРОПНЫХ ИДЕАЛЬНО-ПЛАСТИЧЕСКИХ МАТЕРИАЛОВ

При описании неустановившихся процессов деформирования жестко пластического, ортотропного материала возникает вопрос об ориентации осей ортотропии относительно пространственной (эйлеровой) системы отсчета. Полагая оси ортотропии фиксированными в эйлеровой системе, приходим к противоречию при рассмотрении неоднородных процессов, когда жесткие области двинутся как абсолютно твердое тело вместе с «замороженными» осями ортотропии. Более сложная ситуация возникает в областях, где наряду с деформированием имеет место вихревое движение. Такого типа процессы возможны и при однородном состоянии, например, простой сдвиг [1].

В публикуемой статье принимается предположение о совпадении скорости поворота осей ортотропии с тензором вихря. Таким образом, оси ортотропии фиксируются относительно вихревого базиса [1].

Рассматривается влияние изменения ориентации осей ортотропии поверхности текучести Хилла [2] на процессы однородного деформирования в условиях плоского напряженного состояния.

**1. Кинематические соотношения.** Рассмотрим процесс обобщенного плоского деформирования несжимаемого, идеально-пластического слоя. Декартов базис отсчетной системы координат задается векторами  $e_1, e_2, e_3$ , причем,  $e_2$  и  $e_3$  располагаются в плоскости слоя. Компоненты тензора деформации скорости  $W$  и тензора вихря  $\omega$  в отсчетном базисе выражаются через координаты вектора скорости  $v$  по следующим формулам [3]:

$$W_{11} = v_{1,1}, \quad W_{22} = v_{2,2}, \quad W_{12} = 1/2 (v_{1,2} + v_{2,1})$$

$$W_{13} = W_{23} = 0, \quad W_{33} = (\ln \lambda_3) \quad (1.1)$$

$$\omega_{12} = -\omega_{21} = 1/2 (v_{2,1} - v_{1,2}), \quad \omega_{13} = \omega_{23} = 0 \quad (1.2)$$

где  $\lambda_3 = h/h_0$  — отношение текущей толщины слоя к начальной толщине.

Пусть  $k_i$  — орты декартова базиса главных осей ортотропии поверхности текучести Хилла. Полагаем, что  $k_2, k_3$  расположены в плоскостях слоя. Связь между векторами  $e_i$  и  $k_i$  задается ортогональным тензором  $Q$ , при этом

$$k_i = e_i \cdot Q \quad (1.3)$$

Обозначим угол между  $e_1$  и  $k_1$ , через  $\varphi$ , тогда из (1.3) получим следующие выражения компонент  $Q$  в отсчетном базисе:

$$Q_{11} = Q_{22} = \cos \varphi, \quad Q_{12} = -Q_{21} = \sin \varphi, \quad Q_{13} = Q_{23} = Q_{33} = 0 \quad (1.4)$$

Соответствующий ортогональному тензору  $Q$  антисимметричный тензор  $\varphi = \ln Q$  имеет в отсчетном базисе компоненты

$$\varphi_{12} = -\varphi_{21} = \varphi, \quad \varphi_{13} = \varphi_{23} = 0 \quad (1.5)$$

2. **Определяющие соотношения.** Условие идеальной пластичности при плоском напряженном состоянии в базисе главных осей ортотропии  $K_i$  имеет следующий вид [2]:

$$(G + H) \sigma_{11}^2 - 2H\sigma_{11}\sigma_{22} + (H + F) \sigma_{22}^2 + 2N\sigma_{12}^2 = 1 \quad (2.1)$$

Здесь  $\sigma_{ij}$  — компоненты тензора истинных напряжений  $\sigma$  в главных осях ортотропии;  $G, H, F, N$  — постоянные материала.

Ассоциированный с (2.1) закон пластического течения связывает компоненты тензора деформации скорости  $a_{ij}$  в базисе главных осей ортотропии с  $\sigma_{ij}$ , при этом

$$\begin{aligned} a_{11} &= \lambda [(H + G) \sigma_{11} - H\sigma_{22}], & a_{12} &= \lambda N\sigma_{12}, & a_{13} &= 0 \\ a_{22} &= \lambda [-H\sigma_{11} + (F + H) \sigma_{22}], & a_{23} &= 0 \\ a_{33} &= W_{33} = -\lambda (G\sigma_{11} + F\sigma_{22}) \end{aligned} \quad (2.2)$$

Пусть процесс нагружения задан компонентами  $s_{ij}$  тензора истинных напряжений  $\sigma$  в отсчетной системе координат, тогда связь между  $s_{ij}$  и  $\sigma_{ij}$  определяется по формулам

$$\begin{aligned} \sigma_{11} &= s_{11} \cos^2 \varphi + s_{12} \sin 2\varphi + s_{22} \sin^2 \varphi \\ \sigma_{12} &= -1/2 s_{11} \sin 2\varphi + s_{12} \cos 2\varphi + 1/2 s_{22} \sin 2\varphi \\ \sigma_{22} &= s_{11} \sin^2 \varphi + s_{12} \sin 2\varphi + s_{22} \cos^2 \varphi \end{aligned} \quad (2.3)$$

Аналогичным образом связаны компоненты  $W_{ij}$  и  $a_{ij}$  тензора.

Известно, что характер анизотропии материала в процессе пластического деформирования может изменяться [4]. В рамках идеально пластического ортотропного материала изменение анизотропии возможно лишь за счет изменения ориентации главных осей ортотропии. Будем полагать, что скорость тензора поворота главных осей ортотропии совпадает с тензором вихря, тогда

$$\dot{\varphi} = \omega \quad (2.4)$$

Возникает вопрос о следствиях из гипотезы (2.4), когда процессы нагружения и деформирования однородны в слое.

3. **Сжатие слоя абсолютно гладкими плитами.** Рассмотрим процессы нагружения, в которых главные оси тензора напряжений неизменно ориентированы относительно отсчетной системы координат. Простейшим является случай одноосного нагружения, когда компоненты тензора истинных напряжений имеют вид

$$|s_{11}| = s, \quad s_{12} = s_{23} = s_{22} = s_{13} = 0 \quad (3.1)$$

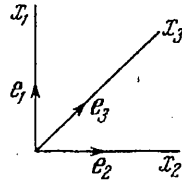
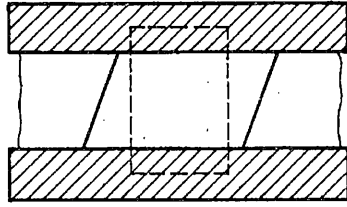
Полагаем ориентацию материальных плоскостей слоя параллельных в начальный момент отсчетной плоскости  $x_1 = 0$  неизменной в процессе деформирования. Данная схема соответствует процессу сжатия (растяжения) слоя абсолютно гладкими плитами. Схема нагружения показана на фигуре, где штриховыми линиями выделен прямоугольный в начальный момент материальный элемент. Этот же элемент в процессе деформирования показан сплошными линиями.

В соответствии с данной схемой нагружения поле скоростей должно удовлетворять условию

$$v_{1,2} = 0 \quad (3.2)$$

Из выражений (2.1), (2.3), находим условие пластичности для случая (3.1);

$$s^2 (F \sin^4 \varphi + G \cos^4 \varphi + H \cos^2 2\varphi + 1/2 N \sin^2 2\varphi) = 1 \quad (3.3)$$



Из определяющих соотношений ассоциирование закона (2.2) и связей (2.3) между компонентами тензора деформаций скорости находим связь между смешанной компонентой  $W_{1,2}$  и параметрами нагружения  $s$ :

$$W_{12} = 1/2 s \lambda \{ \sin 2\varphi [(2H + G) \cos^2 \varphi - (2H + F) \sin^2 \varphi] - 1/2 N \sin 4\varphi \} \quad (3.4)$$

Из (1.1), (1.2), (1.5), (3.2) на основании (2.4) получим

$$\dot{\varphi} = W_{12} \quad (3.5)$$

В качестве временного параметра ( $t$ ) принимаем  $t = |\ln \lambda_3|$ . При таком выборе из (1.1) имеем

$$W_{33} = \pm 1 \quad (3.6)$$

где знак плюс соответствует сжатию, а минус — растяжению. Из (3.6) и выражения для  $W_{33}$  из (2.2) получим

$$s \lambda = (G \cos^2 \varphi + F \sin^2 \varphi)^{-1} \quad (3.7)$$

Подставляя (3.5) и (3.7) в (3.4), получаем дифференциальное уравнение относительно угла поворота главных осей ортотропии

$$\dot{\varphi} = 1/2 (G \cos^2 \varphi + F \sin^2 \varphi)^{-1} \{ \sin 2\varphi [(2H + F) \cos^2 \varphi - (2H + G) \sin^2 \varphi] - 1/2 N \sin 4\varphi \} \quad (3.8)$$

Для многих сплавов установлено, что  $F \simeq G$  [5]. В этом случае, полагая в (3.8)  $F = G$ , имеем

$$\dot{\varphi} = -K \sin 4\varphi, \quad K = 1/4 [N/F - (1 + 2H/F)] \quad (3.9)$$

Уравнение (3.9) легко интегрируется и закон изменения угла поворота главных осей ортотропии принимает следующий вид:

$$\operatorname{tg} 2\varphi = e^{-4kt} \operatorname{tg} 2\varphi_0 \quad (3.10)$$

где  $\varphi_0$  — угол начальной ориентации ортотропии относительно отсчетного базиса. Характер решения (3.10) определяется знаком постоянной  $K$ . Для всех сплавов у которых  $F \simeq G$ , значения  $K$ , подсчитанные по экспериментальным данным приведенным в [5], положительны. Например, для стали 12X18H9  $H/F = 0,759$ ,  $G/F = 0,988$ ,  $N/F = 3,286$ ,  $4K = 0,768$ . На основании полученных результатов можно сделать следующие выводы.

1. С ростом степени деформации (параметра  $t$ ) главные оси ортотропии стремятся совместиться с главными осями тензора напряжений ( $\varphi \rightarrow 0$ ), причем скорость сближения осей пропорциональна степени анизотропии, определяемой постоянной  $K$  (в изотропном материале  $K = 0$ ).

2. Поворот осей ортотропии меняет характер процесса деформирования. Действительно, из (2.2) и аналога (2.3) для компонент  $W$  в отсчетном базисе получим

$$\frac{W_{11}}{W_{22}} = \frac{KF(1 + \cos 4\varphi) + (F + N)/2}{F - KF(1 + \cos 4\varphi) - (F + N)/2} \quad (3.11)$$

Из (3.11) следует, что при неизменной ориентации осей деформирования процесс будет простым. Если же оси поворачиваются, то отношение (3.11) изменяется. Однако, отклонение процесса деформирования от простого существенно на начальной стадии. При  $t \rightarrow \infty$  отношение компонент тензора  $W$  стремится к постоянным значениям, следовательно, траектория деформирования стремится к лучевой. Таким образом, вращение главных осей ортотропии прекращается и происходит совмещение главных осей тензора деформации скорости с главными осями тензора напряжений.

3. Зависимость осевого напряжения от ориентации осей ортотропии определяется из формулы (3.3) при  $F = G$  следующим выражением:

$$s_{11} = [F + H + KN(1 - \cos 4\varphi)]^{-1/2} \quad (3.12)$$

Из (3.12) следует, что если вращение осей ортотропии отсутствует, то напряжение остается неизменным в процессе деформирования. Если же допустить поворот осей, то напряжение будет неизменным лишь когда угол  $\varphi_0$  принимает значения  $0, \pi/4, \pi/2$ . В этих случаях ориентация осей ортотропии, согласно (3.10), не изменяется и  $\varphi \equiv \varphi_0$ . В остальных случаях напряжение будет изменяться. Например, при  $\varphi_0 = \pi/8$  получим

$$(F + H + KF)^{-1/2} \leq s_{11} < (F + H)^{-1/2}$$

Для рассматриваемого материала ( $F = G$ ) пределы текучести при сжатии (растяжении) вдоль осей ортотропии имеют равные и максимальные значения. Поэтому, если в начальный момент ось сжатия не совпадает с осью ортотропии, то течение начинается при значении  $s_{\varphi_0}$  меньше, чем  $s_0 = (F + H + KF)^{-1/2}$ . В дальнейшем при  $\varphi \rightarrow 0$ ,  $s_{\varphi} \rightarrow s_0$  и следовательно возрастает.

#### СПИСОК ЛИТЕРАТУРЫ

1. Маркин А. А., Толоконников Л. А. Меры и определяющие соотношения конечного упругопластического деформирования // Прикладные проблемы прочности и пластичности. Методы решения: Всес. межвуз. сб. Горький: Горьк. ун-т., 1987. С. 32—37.
2. Хилл Р. Математическая теория пластичности. М.: ГИТТЛ, 1956. 407 с.
3. Лурье А. И. Нелинейная теория упругости. М.: Наука, 1980. 512 с.
4. Ильюшин А. А. Пластичность. Основы общей математической теории. М.: Изд-во АН СССР, 1963. 390 с.
5. Яковлев С. П., Кухарь В. Д. Штамповка анизотропных заготовок. М.: Машиностроение, 1986. 186 с.

Тула

Поступила в редакцию  
25.VIII.1993